

## 岸壁係留船の波浪応答(その1)

大阪市立大学工学部	正員 小田一紀
大阪市立大学工学部	正員 倉田克彦
大阪市立大学大学院	学生員○石上昌男
大阪市立大学工学部	木村龍夫
大阪市立大学工学部	柴田治人

## 1. まえがき

A港の物揚場に係留される200 G.T.クラスの小型船を対象として、不規則港内波浪による船体動搖の模型実験を行い、動搖に及ぼす物揚場構造の影響を調べたのでその結果を報告する。

## 2. 実験施設および実験方法

図-1はA港の実験対象域の平面図を示す。港の模型は幾何学的縮尺を1/60とし、海底はモルタルで仕上げ、護岸・橋脚・防波堤等の構造物の重要なところは木材あるいは鋼材でかなりの程度、实物に相似に製作した。

模型船は問題の物揚場を利用する、小型船のうち最も頻度の多い200トン型貨物船(実際は199 G.T.)の相似模型を木材で製作し動搖性能も実船に相似にした。模型船の諸元は表-1に示すとおりである。また、係留索は实物のナイロンクロスロープ( $\phi 32\text{mm}$ )の荷重・伸び特性にほぼ相似な特性を示す0.5mm角の系ゴムを用い、防舷材は实物のV型ゴム防舷材( $200\text{mm} \times 2500\text{mm}$ )の荷重・変形特性にほぼ相似な特性を示す板ゴム( $9\text{mm} \times 9\text{mm} \times 3.3\text{mm}$ )を用い、以下が図-2のよう配置した。

波浪は現地における  $T_h = 5.0\text{sec}$ ,  $H_h = 1.5\text{m}$  の冬期波浪に相当する、光易Ⅱ型スペクトルを有する不規則波をフラップ型造波機(直流モーター式不規則波発生装置)を用いて発生させた。波向きは港口防波堤法線に対して  $78.5^\circ$  の傾きを有する。船体の動搖はポテンショメーターを用いた駆量の6自由度運動計測器を用いて測定し、出力は波浪(リード式および容量式波高計を用いて測定)とともに磁気テープに記録した。データは  $\Delta t = 0.05\text{sec}$  間隔で読み取り同時にマイクロコンピューター(Gord M223)で解析した。波浪および船体動搖のパワースペ

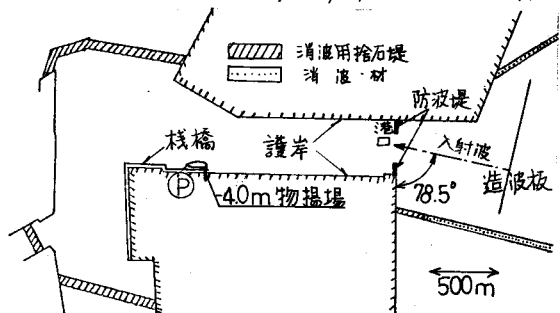


図-1 実験対象域平面図

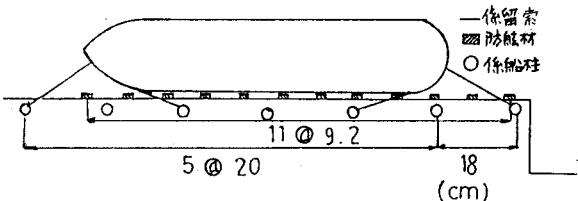


図-2 係留索と防舷材の配置図

表-1 船体模型の諸元

船長 $L_{pp}$	83.3cm	排水量 $\nabla$	5042g
船幅 $B$	15.0cm	固有周期 $T_p$	非規則時
平均吃水 $d_m$	5.5cm	PITCH· $T_p$	0.62 sec (1.6 rad)
横衝心高 $GM$	0.8cm	ROLL· $T_p$	1.15 sec (0.87 rad)
重心高 $KG$	5.5cm	HEAVE· $T_h$	0.63 sec (0.53 rad)

Kazuki ODA, Katsuhiko KURATA, Masao ISHIGAMI, Tatsuo KIMURA, Haruto SHIBATA

クトルはMEM法(最大エントロピー法)を用いて解析した。このときのデーター数は、 $N=128$ 個、ラグ数 $m=20$ にとった。

### 3. 実験結果とその考察

図-3は、港口沖の入射波のパワースペクトルを示す。また、図-4(a)～(c)は図-1中のP点に図-2のように係留した模型船のうち橋のROLL、PitchおよびHeaveのパワースペクトルを表している。これらの図によると物揚場法線に平行な運動をするHeaveやPitchについて橋と直立壁との場合の違いはほとんど見られないが、物揚場直角方向の運動をするROLLにおいては直立壁の場合が橋の場合に比して著しく減少している。これは物揚場法線に直角方向の流体運動が小さくT字型であるためであるといえる。

図-5は、橋構造と直立壁の場合の動搖の有義振幅 $K_a^*$ の比を表したものである。パワースペクトルからも判るようにROLLにおいて兩者の違いは顕著に表れており、YAWの運動が抑制されたため除外して考えれば、橋の場合は、直立壁の場合より1.2倍以上の大きな動搖を示すことが判る。

### 4. 結論

今回はSway、Surgeの長周期運動を考慮せず短周期的運動に関して解析を行なった。今後、長周期運動を考慮した解析を行ない、また波浪と船体動搖の伝達関数をも求め、係留船の動搖特性に関して詳細に調べてゆく予定である。

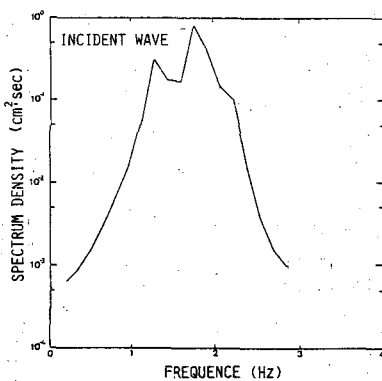


図-3 港口沖入射波のスペクトル

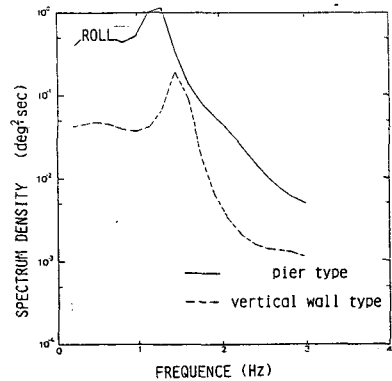


図-4 (a) Rollのパワースペクトル

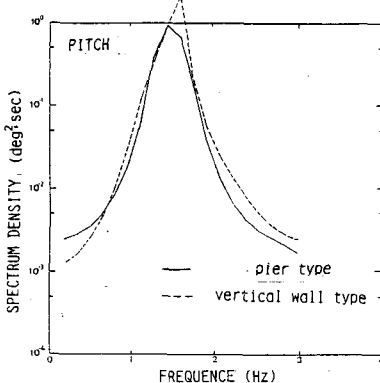


図-4 (b) Pitchのパワースペクトル

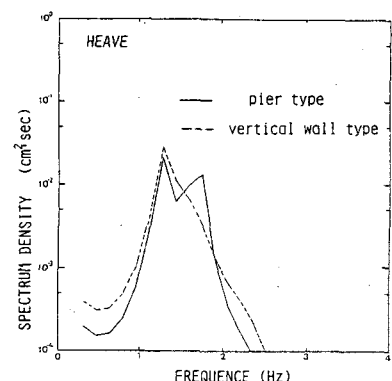


図-4 (c) Heaveのパワースペクトル

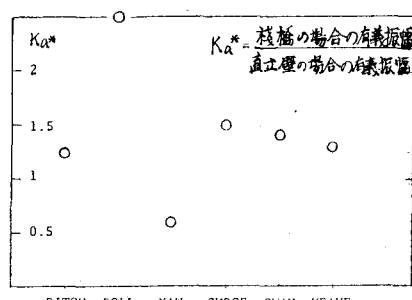


図-5 橋と直立壁の有義振幅比